

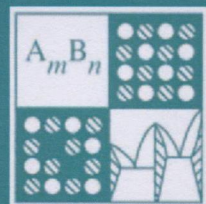
ISSN 0002-337X

Том 60, Номер 3

Март 2024



НЕОРГАНИЧЕСКИЕ МАТЕРИАЛЫ



НАУКА

— 1727 —

СОДЕРЖАНИЕ

Том 60, номер 3, 2024

Влияние дисперсности на магнитные свойства композитов полупроводник (GaSb)/ферромагнетик (MnSb)

*М. Джалилдинзода, А. И. Риль, А. Л. Желудкевич,
М. А. Теплоногова, А. А. Биктеев, С. Ф. Маренкин*

277

Влияние гамма-радиации на электрические свойства экструдированных образцов твердого раствора $\text{Bi}_{0.85}\text{Sb}_{0.15}$, легированных акцепторной примесью свинца

М. М. Тагиев, И. А. Абдулаева, Г. Д. Абдинова

284

Синтез $\gamma\text{-La}_2\text{S}_3$ путем обработки La_2O_3 расплавом тиоцианата натрия с добавлением цианида калия

А. А. Капустин, А. Н. Романов, Е. В. Хаула, В. Н. Корчак

290

Определение термодинамических свойств RuTe_2 методом ЭДС в твердотельной электрохимической ячейке

Е. Г. Осадчий, М. В. Воронин

295

Получение пенографита, содержащего ферромагнитные сплавы железа, кобальта и никеля

*А. Д. Муравьев, А. В. Иванов, В. А. Муханов, В. А. Разуваева,
А. В. Васильев, П. Е. Казин, В. В. Авдеев*

302

Термодинамическое моделирование влияния примесей и добавок NaCl на химический состав продуктов синтеза карбида кремния методом Ачесона

В. Б. Щербакова, П. С. Гринчук

309

Синтез литых алюминидов железа из смеси $\text{Fe}_2\text{O}_3+\text{Al}$ в режиме горения

*М. Ю. Ширяева, С. Л. Силяков, А. Ф. Беликова, Н. Ю. Хоменко,
О. Д. Боярченко, В. Н. Семёнова, В. И. Юхвид*

316

Фазовый состав и оптические свойства оксинитрида алюминия, легированного железом

*А. В. Ищенко, Н. С. Ахмадуллина, Д. А. Пастухов, И. И. Леонидов,
В. П. Сиротинкин, А. С. Лысенков, О. Н. Шишилов, Ю. Ф. Каргин*

322

Механизм реакции H_2 на поверхности In_2O_3 (011) с предадсорбированной молекулой кислорода

К. С. Курмангалеев, Т. Ю. Михайлова, Л. И. Трахтенберг

331

Управление размером наночастиц CeO_2 при термолизе $\text{Ce}(\text{NO}_3)_3$

А. Б. Шишмаков, Ю. В. Микушина, О. В. Корякова

336

Методы синтеза $\text{PbIn}_{1/2}\text{Ta}_{1/2}\text{O}_3$

А. А. Гусев, И. П. Раевский

345

Исследование фазовых равновесий в стабильном тетраэдре
LiF–KCl–KBr–LiKCrO₄ пятикомпонентной взаимной системы
Li⁺, K⁺||F⁻, Cl⁻, Br⁻, CrO₄²⁻

*М. А. Сухаренко, И. С. Портнова, А. С. Егорова, И. К. Гаркушин,
И. М. Кондратюк*

352

Удельный коэффициент поглощения ионов Ni²⁺
в стеклах системы TeO₂–ZnO–Bi₂O₃

М. В. Краснов, О. А. Замятин

358

Синтез стеклокерамики методом пропитки алюмоиттрий-эрбьевого граната
расплавом стекла BaO–B₂O₃–Bi₂O₃

*А. Д. Плехович, А. М. Кутын, Е. Е. Ростокина, К. В. Балуева,
М. Е. Комшина, К. Ф. Шумовская, И. И. Евдокимов,
С. В. Курашкян, Е. Н. Разов*

364

Влияние спекающих добавок, синтезированных методом сжигания
нитратов алюминия, на свойства керамики Al₂O₃–3YSZ

*Ю. И. Комоликов, Л. В. Ермакова, В. Д. Журавлев,
Е. И. Сенаева, Р. А. Шишкин*

373

Контейнерный материал для полупроводниковых технологий
из плавленого кварца с добавками нановолокон Al₂O₃

*Е. Ю. Подшибякина, А. Ф. Шиманский, М. Н. Васильева,
М. М. Симунин, Р. Г. Еромасов, Т. В. Бермешев*

381

Микроплазменное напыление металлокерамических покрытий
на основе механосинтезированных композиционных порошков Ti/HfB₂

*М. Е. Гошкодеря, Т. И. Бобкова, Н. А. Сердюк, А. А. Каширина,
М. В. Старицын, М. В. Хроменков*

387

Взаимодействие азота с оксидом алюминия в процессе
роста лейкосапфира из расплава

Д. В. Костомаров, В. А. Федоров

395

Метод расчета состава гетерофазной низкотемпературной
плазмы с анализом конверсии CO₂ под действием излучения гиротрона

А. М. Кутын, Д. А. Мансфельд, В. С. Поляков

401